

May 5<sup>th</sup> - 0



VI 1897.

1914

Mn<sub>2</sub>SiO<sub>4</sub> (Tm)

Kallenborg

1. Z. anorg. Chem., 1914, 88, 355.

circ. 500

5  
hem. & S-ke.

Mn<sub>2</sub>SiO<sub>5</sub>

[BP-4899-V]

1916

Mn<sub>2</sub>SiO<sub>4</sub> Jaeger; Kloosster.

(Tt) Proc. Koninkl. Nederl.  
Akad. Wetenschap.  
1916, 18, 896-913

II 1555

1931

Mn<sub>3</sub>S, MnSiO<sub>4</sub>, Fe<sub>2</sub>SiO<sub>4</sub> (Tm)

Andrews, Maddocks, Nowler

1. J. Iron Steel Inst. (London),  
1931, 124 II, 293.

Size. 500.

6.

VI 1894.

1935

MnO<sub>2</sub> · SiO<sub>2</sub> (Tm)

Voss 8.

Z. anorg. allgem. Chem., 1935,

222, 201-224.

See also

C.A., 1935, 3584<sup>6</sup>

5

$3.6\text{U}_2\text{O}_5 \cdot \text{Mn}_2\text{O}_3$

1937

VII XI-1-158

Vaux G., Bennett H., Mineral.

Mag. J. mineral. Soc., 1937, 24,

521-526

M1

VII XII-160

$\text{U}_{\text{II}} \text{SiO}_4$  1944  
K.G.

O'Daniel H., Tscheischwili L.

Z. Kristallogr., 1944, 105, 273-278

M.H.

VI 1681 1954

$\text{Mn}_2\text{SiO}_4(\Delta H_{\text{aq}}, \Delta H_f)$ ,  $\text{SiO}_2(\Delta H_{\text{aq}}, \Delta H_f)$ ,  
 $\text{MnO}(\Delta H_{\text{aq}})$ ,  $\text{MnS}(\Delta H_{\text{aq}}, \Delta H_f)$

Jeffes J.H.E., Richardson F.D.,  
Pearson J.

Trans. Faraday Soc., 1954, 50, II 4,  
364-370 (annu.)

The heats of formation of manganese  
orthosilicate and manganese sulphide

PX., 1955, N 4,  
5276



16070 Q. K.

M,B

Kellogg K.K.

1959

Mn<sub>2</sub>SiO<sub>5</sub> 5x7, N2, 39 cp.

Cp 50 - 798°K

H-H 298 - 1800°K

VII XII-165

$3.0\text{Li}_2\text{O}_3 \cdot 4\text{Na}_2\text{SiO}_3$  1959  
H.P.

Makherjee B., Miner. Mag.,

1959, 32, 332-339

VII 4423

1959

2  $\text{MnO} \cdot \text{SiO}_2$

(a, b, c)

$\text{MnO} \cdot \text{SiO}_2$

Muan A.

Amer. J. Sci., 1959, 257, n<sup>o</sup> 4, 297-315

Mn

cc18 p.K

VII - 5369

1960

Mn<sub>2</sub>SiO<sub>4</sub> (cp; S<sub>292</sub>)

Man A.D.;

Rept. Investig. Bur. Mines, 1960, N°5600, 34 pp

The thermodynamic properties of manganese and its compounds.

○

5 ○

Kennec N°592

VII 361.

1960

Mn<sub>2</sub>SiO<sub>5</sub>, Mn<sub>2</sub>SiO<sub>4</sub>,  $\delta$ -Ca<sub>2</sub>SiO<sub>4</sub>,  
MgO-MnO-SiO<sub>2</sub>, CaO-MnO-SiO<sub>2</sub>. (Tz)

Glasser F.P.

Silikatteechu, 1960, 11, 18, 362-363.



5

err. Q.K.

VI 1896

1961

$\text{Ca}_2\text{SiO}_4$ ,  $\text{Mn}_2\text{SiO}_4$  (Tm)

Glasser F.P.

Amer. J. Sci., 1961, 259, v 1, 46-59.

PHEX, 1961,

216320

3cm opus.

5

VII 4348

1961

MnSiO<sub>3</sub> · n H<sub>2</sub>O (ky. cry.)

Ito K.

J Japan Assoc. Mineral., Petrol.  
and Econ. Geologist,

1961, 46, n1, 17-25

New 85-ke

1963

VI-1921

$\gamma$   $\text{Ca}_2\text{SiO}_4$ ,  $\underline{\text{Mn}_2\text{SiO}_4}$  ( $\text{A}$  Hf)

Abraham K.P.,

Indian J., Chem., 1963, 1, 245-6.

Heats of formation of solid solutions of calcium orthosilicate and manganese orthosilicate.

M,

CA., 1963, 59, N8, 8190a

Есть ф. н.

VI-2276/1963

$\text{MnSiO}_3$ ,  $\text{Mn}_2\text{SiO}_4$  ( $\Delta H, \text{Cp}$ )

Топорищев Г.А., Есин О.А.

Изд. высш. учебн. заведений. Черн.металлургия,  
1963, № 2, 16-22.

Термохимич. характер. силикатов марганца.

РХ., 1964, 10Б373      Н, Ве,

Есин О.А.

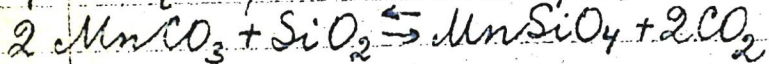
1963

Mn<sub>2</sub>SiO<sub>4</sub> Schreiber 2.

$\Delta F_f$  Diss. Absts, 1963, 24, N<sub>4</sub>, 1423

~~Максимов~~

Граница равновесия p-уни



T°K	$\Delta F^\circ$ p-уни	$\Delta F_f^\circ$ Mn <sub>2</sub> SiO <sub>4</sub>
700	-14,8 <small>ккал/моль</small>	-353,9
800	-26,1	-349,8
900	-37,39	-345,1



VII 4475

1964

Mg<sub>2</sub>SiO<sub>4</sub>, Mg<sub>2</sub>SiO<sub>4</sub>, Mg<sub>2</sub>GeO<sub>4</sub>,  
(xp. crp.)

Lefebvre - Moreau Mine,  
Bull. Soc. roy. ci. Liege,

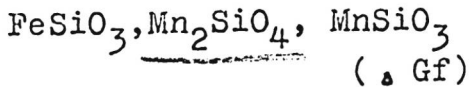
1964, 33, N5-6, 343-379



the

E.	.	φ.	H.
----	---	----	----

1966



VI-4471

Schwerdtfeger K., Muan A.

Trans. Metallurg. Soc. AIME, 1966, 236, N2, 201-11.

Activities in olivine and pyroxenoid solid  
solutions of the system Fe-Mn-Si-O at 1150°C.

RX., 1967, 25569

M, New E. SKE

V 5999

1967

Mg<sub>2</sub>SiO<sub>4</sub>, Mn<sub>2</sub>SiO<sub>4</sub>, Zr<sub>2</sub>SiO<sub>4</sub>; Als Si<sub>2</sub>O<sub>13</sub>;  
FeSiO<sub>3</sub>, CoSiO<sub>3</sub> ( $\Delta g_f$ )

Illman A.,

Proc. Brit. Ceram. Soc., 1967, v8, 103-113



M

Proc., 1968, 196796

VII  $Mn_5[(OH)_2|(SiO_4)_2]$ .

1970.

cr. str.

VII 5678

Rentzeperis P. J.

Z. Kristallogr., 1970, 132, N 1-2, 1-18.

The crystal structure of alleghanyite,  
 $Mn_5[(OH)_2|(SiO_4)_2]$ .

Mc 6

PX 1971, 136331.

Mn-circum

1974.

Rog F; et al.

(064) J. Chem. Thermodyn.,  
1974, 6 (12), 1113-19.

● (act. Co-Si; I)

1976

$\text{Mn}_2\text{SiO}_3$

$\text{Mn}_2\text{SiO}_4$

Novototsky A., et al.

Geochim. Cosmochim.

Acta 1976, 40(10),  
1281-8.

( $\Delta K_f$ )

$\text{Cu}_x\text{Mg}_y\text{Ca}_z\text{Si}_w\text{O}_6$  )<sup>T</sup>

Mn - Si - O

1977

(spazov, pabecov.)

87: 72117n Phase equilibrium conditions in the manganese-silicon-oxygen system. Ashin, A. K. (Dnepropetrovsk, USSR). Izv. Akad. Nauk SSSR, Met., 1977, (3), 232-6 (Russ). Using atomization consts. of MnO and SiO<sub>2</sub> and the vapor pressure of condensed substances, the consts. of Mn-Si exchange equil. reaction were calcd. between metal and slag phases at 1300-727°. The activity of components in Mn-Si melts at 1400-700° was calcd. from the exptl. data. The equil. coexistence conditions of Mn-Si with MnO-SiO<sub>2</sub> slags at 1400-700° were detd.

C. A. 1977. 87 N 10

1981

Mn<sub>2</sub>SiO<sub>4</sub>

(ΔG<sub>f</sub>)

95: 68797g The thermodynamic properties of melts in the system manganese(II) oxide-silica. Rao, B. K. D. P.; Gaskell, D. R. (Dep. Mater. Sci. Eng., Univ. Pennsylvania, Philadelphia, PA 19104 USA). *Metall. Trans., B* 1981, 12B(2), 311-17 (Eng). The activity of MnO in MnO-SiO<sub>2</sub> melts was measured at 1400-1600° by establishing equil. among the melt, a gaseous atm. of fixed O<sub>2</sub> pressure, and a Pt-Mn foil immersed in the melt. The variation of the activity of SiO<sub>2</sub> with compn. and temp. and the integral free energies and partial heats and

CA 1981, 95, N8.

Mn<sub>2</sub>SiO<sub>4</sub> 1982

Robie Richard A.,  
Hemingway Bruce S.,  
et al.

Gp° S°

Am. Mineral. 1982,  
67(5-6), 470 - 482.  
(cav. Mn<sub>2</sub>SiO<sub>4</sub>; ?)

*Mn<sub>2</sub>SiO<sub>4</sub>*

*1982*

10 Б867. Теплопроводность Mn<sub>2</sub>SiO<sub>4</sub> в направлении [100] от 80 до 400 К. Thermal conductivity of Mn<sub>2</sub>SiO<sub>4</sub> in the [100] direction from 80 to 400 K. Moore J. P., Finch C. B. «J. Amer. Ceram. Soc.», 1982, 65, № 11, С-184 (англ.)

*теплопроводность*  
*ночью*

Методом продольного теплового потока в интервале т-р 80—400 К с точностью  $\pm 2\%$  измерена теплопроводность ( $\lambda$ ) синтезированного монокристалла тефроита (Mn<sub>2</sub>SiO<sub>4</sub>) в направлении [100]. Найдено, что  $\lambda$  быстро уменьшается с ростом т-ры, а переход антиферромагнетик — парамагнетик при т-ре Нееля  $T_N = -163$  К не оказывает сильного влияния на  $\lambda$ . Анализ эксперим. данных, представленных на графике и описанных ур-ниями, показал, что высокот-ная  $\lambda$  м. б.

*жн. 1983, 19, N 10*

ограничена сочетанием трехфононных процессов переброса с рассеянием фононов разупорядоченными магнитными моментами. Показано, что полученные результаты в пределах  $\pm 10\%$  согласуются с высокотранными значениями  $\lambda$  для поликрист.  $Mn_2SiO_4$  и смешанного монокристалла фостерит—файлит. В. Ф. Байбуз

1982

$Mn_2SiO_4$

5 Е256. Термопроводность  $Mn_2SiO_4$  в направлении [100] от 80 до 400 К. Thermal conductivity of  $Mn_2SiO_4$  in the [100] direction from 80 to 400 K. Moore J. P., Finch C. B. «J. Amer. Ceram. Soc.», 1982, 65, № 11, С—184 (англ.)

Методом Чохральского выращен монокристалл тефроита  $Mn_2SiO_4$ , имеющий орторомбическую оливиновую структуру и изоморфный фаялиту  $Fe_2SiO_4$  и форстерииту  $Mg_2SiO_4$ . Тефроит обладает антиферромагнитно-парамагнитным превращением с т-рой Нееля  $T_N = 163$  К. Измерялась теплопроводность тефроита в направлении [100] в интервале т-р 80—400 К. Коэф. теплопроводности  $\lambda$  с погрешностью 0,6% во всем интервале т-р определяется выражением  $\lambda = [433,2/T^2 - 10,711/T + 0,08297 + 0,44625 \cdot 10^{-3} T]$  Вт/м·К. При т-рах выше

термопровод

ност.

φ. 1983, 18, N 5.

323 К термосопротивление с точностью 0,06% становится линейным по т-ре:  $\lambda^{-1} = 0,0338 + 0,5091 \cdot 10^{-3} T$  (Вт/м·К)<sup>-1</sup>. Этот результат свидетельствует о том, что высокотемпературная теплопроводность Mn<sub>2</sub>SiO<sub>4</sub> лимитируется процессами З-фононного переброса и, вероятно, рассеянием фононов на разупорядоченных магн. моментах. При т-рах менее 300 К частичное упорядочение магн. моментов обуславливает уменьшение  $\lambda^{-1}$  ниже линейной зависимости от  $T$ . Какой-либо аномалии  $\lambda$  вблизи  $T_N$  не обнаружено, однако полученные результаты, по-видимому, отражают существование двух магн. состояний Mn<sub>2</sub>SiO<sub>4</sub>.

А. И. Коломийцев

Мп-силикат

1983

16 Б863. Рентгенографическое исследование расплавов системы  $MnO-SiO_2$ . Сокольский В. Э., Казимиров В. П., Галининич В. И., Баталин Г. И., Подгаецкий В. В., Шовский В. А. «Изв. АН СССР. Неорганические материалы», 1983, 19, № 4, 629—633

Проведено рентгенографическое исследование расплавов системы  $MnO-SiO_2$ . Получены кривые интенсивности и радиального распределения атомов для расплавов составов 0; 50; 57,7; 66,68; 71,22 мол.%  $MnO$ , из к-рых рассчитаны значения преимущественных межатомных расстояний. Сделан вывод о существовании во всей исследуемой области составов микрогруппировок различного типа. Показано, что структурными единицами расплавов являются тетраэдры  $SiO_4$  и октаэдры  $MnO_6$ .

Резюме

X.1983, 19, N16

MnO-SiO<sub>2</sub>

1984

✓ 101: 98718s Thermodynamic properties of silicon dioxide--manganese monoxide system melts. Stukalo, V. A.; Neshchimenko, N. Ya.; Batalin, G. I.; Galinich, V. I. (Kiev. Gos. Univ., Kiev, USSR). *Izv. Akad. Nauk SSSR, Neorg. Mater.* 1984, 20(5), 811-14 (Russ). High-temp. calorimetry was used to det. the heats of mixing in the MnO-SiO<sub>2</sub> system. By combining these values with lit. data for the activities and excess properties the entropies of soln. were calcd. The excess entropy curve has the characteristic S-shape, which points to complex compon. of the melt.

A Rmix

C.A.1984, 101, N12

MnO + SiO<sub>2</sub>

pacneab

1984

101: 29299u Heats of mixing of manganese monoxide-silicon dioxide system melts. Stukalo, V. A.; Neshchimenko, N. Ya.; Kurach, V. P.; Batalin, G. I.; Galinich, V. I. (Kiev. Gos. Univ., Kiev, USSR). *Zh. Fiz. Khim.* 1984, 58(5), 1247-9 (Russ). High-temp. calorimetry was used to det., for the 1st time, the partial and integral heats of mixing of molten MnO + SiO<sub>2</sub> at 1230 K. The heat of mixing varies regularly with the compn. of the melt. In the SiO<sub>2</sub>-rich region, the values are pos.; they change to neg. as the content of MnO increases.

$\Delta H_{\text{mix}}$

C.A. 1984, 101, N<sup>4</sup>

Mn<sub>2</sub>SiO<sub>4</sub>      [OM. 21695]      1984

Попов Н.Д., Сургутский ГО.И.,

Число журавлей, 1984, 53,  
сент. 9, 1425—1462.

ЛГН,

МісіОЗ

[Om. 21695]

1984

(родонит)

Піонов Н.Д., Супомінський  
10. лі.

DfH;

Учення землер, 1984, 53,  
вип. 9, 1425-1462.

*Mn<sub>2</sub>SiO<sub>4</sub>*

*1987*

17 Б3048. Определение стандартных молярных свободных энергий Гиббса образования силикатов марганца из измерений э. д. с. Determination of the standard molar Gibbs free energies of formation of the manganese silicates by e. m. f. measurements. Ró g G., Rycior W. «J. Chem. Thermodyn.», 1987, 19, № 4, 381—384 (англ.)

В интервале т-р 1000—1300 К измерены э. д. с. гальванич. ячеек с Mn<sup>2+</sup>-ионным тв. электролитом Pt/O<sub>2</sub>/MnO/Mn<sup>2+</sup>+β"-глинозем/Mn<sub>2</sub>SiO<sub>4</sub> (I), MnSiO<sub>3</sub> (II)/O<sub>2</sub>/Pt и Pt/O<sub>2</sub>/I, II/Mn<sup>2+</sup>+β"-глинозем/II, SiO<sub>2</sub>/O<sub>2</sub>/Pt. Для токообразующих р-ций получено: MnO+II=I  
 $\Delta G = -(31,03 \pm 0,66) + (8,20 \pm 0,58) \cdot 10^{-3}T$ ; I+SiO<sub>2</sub>=2 II  
 $\Delta G = (3,86 \pm 0,97) - (6,95 \pm 0,77) \cdot 10^{-3}T$  кДж/моль. Для образования I и II из MnO и SiO<sub>2</sub> найдены соотв.  $\Delta_f G = -(58,20 \pm 0,95) + (9,46 \pm 0,39) \cdot 10^{-3}T$  и  $\Delta_f G = -(27,17 \pm 0,29) + (1,25 \pm 0,19) \cdot 10^{-3}T$  кДж/моль. Подробно описана методика получения Mn<sup>2+</sup>-ионного электролита, имевшего состав Mn<sub>1,46</sub>Mg<sub>0,67</sub>Al<sub>10,33</sub>O<sub>17,65</sub>, путем ионного обмена расплава MnCl<sub>2</sub> с Na-β"-глиноземом, полученным керамич. методом из γ-Al<sub>2</sub>O<sub>3</sub>, Na<sub>2</sub>CO<sub>3</sub> и MgCO<sub>3</sub>.

(16)

*X. 1987, 19, N 17*

А. С. Гузей

$Mn_2SiO_4$

1988

9 Б3110. Магнитный фазовый переход в оливинах  
 $M_2SiO_4$  ( $M=Mn, Fe, Co, Fe_xMn_{1-x}$ ). Magnetic phase  
transition in olivines  $M_2SiO_4$  ( $M=Mn, Fe, Co, Fe_xMn_{1-x}$ )  
/ Fuess H., Ballet O., Lottermoser W. // Struct. and  
Magn. Phase Transit. Miner.— New York etc., 1988.— С.  
185—207.— Англ.

$T_{t_2}$

Представлены результаты исследований методами  
нейтронографии, ЯГР и измерением намагниченности  
(в диапазоне т-р 2—80 К) магн. фазовых диаграмм мо-

④  $Fe_xSiO_4$ ,  $Co_xSiO_4$ ,  $(Fe_xMn_{1-x})_2SiO_4$

X.1990, N 9

иокристаллов  $M_2SiO_4$  ( $M=Mn$ ,  $Fe$  и  $Co$ ), а также порошков тв. р-ров  $(Fe_xMn_{1-x})_2SiO_4$ . Теор. (в рамках теории средн. поля) анализ выполненных экспериментов позволил выявить важную роль в наблюдаемых магн. фазовых превращениях этого семейства оливинов магнитокрист. анизотропии. Во всех системах наблюдается антиферромагн. упорядочение, в основном вызываемое отриц. величинами обменных интегралов. В соединении с  $M=Co$  направления легчайшего намагничивания вдоль цепочек  $M1$  ( $4a$ ) и  $M2$  ( $4c$ ) не очень сильно отличаются, а в образце с  $M=Fe$  они почти ортогональны, что объясняет его странное магн. поведение.

В. А. Ступников

$2\text{MnO} \cdot \text{SiO}_2$

1991

INGRISI T. F.

Neopraz. clameps. 1991.

1 Hf

27, N.S. C. 1993-1994.

(c.u.  $3\text{Al}_2\text{O}_3 \cdot 2\text{SiO}_2$ ; I)

1994

121: 287572p Determination of Gibbs free energies of formation for the silicates  $MnSiO_3$ ,  $Mn_2SiO_4$  and  $Mn_7SiO_{12}$  in the temperature range 1000–1350 K by solid state emf measurements. Huang, J.-H.; Rosen, E. (Dep. Inorganic Chemistry, Umea Univ., 90187 Umea, Swed.). *Phys. Chem. Miner.* 1994, 21(4), 228–33 (Eng). The std. Gibbs free energies of formation ( $\Delta_f G^0$ ) for the minerals rhodonite ( $MnSiO_3$ ), tephroite ( $Mn_2SiO_4$ ) and braunite ( $Mn_7SiO_{12}$ ) were detd. by measuring the oxygen fugacities of the following redox equil.:  $3Mn_2SiO_4(s) + 1/2O_2(g) \rightleftharpoons 3MnSiO_3(s) + Mn_3O_4(s)$   $MnSiO_3(s) + 2Mn_3O_4(s) + 1/2O_2(g) \rightleftharpoons Mn_7SiO_{12}(s)$  and  $7MnSiO_3(s) + 3/2O_2(g) \rightleftharpoons Mn_7SiO_{12}(s) + 6SiO_2(s)$ . The measurements were performed by means of the solid-state emf technique involving calcia-stabilized zirconia as electrolyte material. The temp. range covered was 1000–1350 K. The results obtained were used to construct a diagram at 1200 K with the axes  $1gf(O_2)$ -molar ratio  $Si/(Si+Mn)$  to indicate the stability ranges of the manganese silicates.

(1ff)

C.A. 1994, 121, N 24

$Mg_2 SiO_4$

1994

Pilati T., Demartini F., et al.

16 th Gen. Meet., Pisa, 4-9

S<sub>298</sub>, Sept., 1994: Abstr. / Int.  
paerem Mineral. Assoc. [Pisa]

1994. C. 328.

(cell.  $Mg_2 SiO_4$ , ~~T~~)

1995

*MnO·SiO<sub>2</sub>**2MnO·SiO<sub>2</sub>*

(Bf)

*nephelosuite*  
*P-III*  
*pxf. group*

123: 124373b Thermodynamic properties and phase equilibria in the MnO-SiO<sub>2</sub> system. Zaitsev, Alexander I.; Mogutnov, Boris M. (Inst. Phys. Metallurgy, I. P. Bardin Central Res. Inst. Iron Steel Industry, Moscow, Russia 107005). *J. Mater. Chem.* 1995, 5(7); 1063-73 (Eng). The thermodn. properties of the MnO-SiO<sub>2</sub> system were exampd. in the temp. range 1369-1817 K and concn. range 40-80 mol-% MnO. Equil. of the reactions between MnO-SiO<sub>2</sub> mixts. and Mo or Nb were studied by the Knudsen effusion technique coupled with mass-spectrometric anal. of the evapd. products. Mn<sup>+</sup>, SiO<sup>+</sup>, NbO<sup>+</sup>, NbO<sub>2</sub><sup>+</sup>, MoO<sup>+</sup>, MoO<sub>2</sub><sup>+</sup>, and MoO<sub>3</sub><sup>+</sup> were detected in the mass spectra of the satd. vapor and originated from Mn, SiO, NbO, NbO<sub>2</sub>, MoO, MoO<sub>2</sub> and MoO<sub>3</sub> produced by redn. of manganese and silicon oxides with Mo or Nb. The Mn<sup>+</sup>, SiO<sup>+</sup>, NbO<sub>2</sub><sup>+</sup> and MoO<sub>2</sub><sup>+</sup> peaks were the most intense. The intensities of Mn<sup>+</sup> and SiO<sup>+</sup> ion currents were measured for all the samples. The activities of the components were detd. by various methods and similar results were obtained. The Gibbs energies of formation of MnO-SiO<sub>2</sub> and 2MnO-SiO<sub>2</sub> were approximated by the equations  $\Delta_f G[1/2(MnO \cdot SiO_2)]/J/mol = -(10090 \pm 616) - (0.81 \pm 0.42)(T/K)$  and  $\Delta_f G[1/3(2MnO \cdot SiO_2)]/J/mol = -(11560 \pm 588) - (1.30 \pm 0.38)(T/K)$ . The thermodn. functions of the liq. mixts. were described by the assoccd. soln. model under the assumption that complexes MnO-SiO<sub>2</sub>, 2MnO-SiO<sub>2</sub> and polymeric SiO<sub>2</sub> exist in the melts. The thermodn. functions of the MnO-SiO<sub>2</sub> system were used for computation of the phase diagram and the results are in good agreement with the available data.

C.A. 1995, 123, N/0

MnO-SiO<sub>2</sub> 1997  
pacnukov Zaitsev A.I., Mogut-  
nov B.M.

nepnog. Inorg. Mater. (Transl. of  
ob-Ba Neorg. Mater.) 1997, 33(7),  
707-714.

(see LaO-SiO<sub>2</sub> (pacnukov); I)